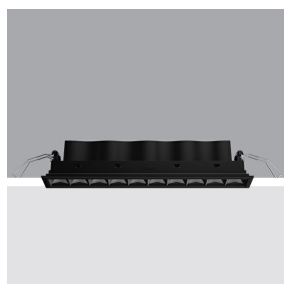


Última actualización de la información: Marzo 2025

Configuraciones productos: RB44.43

RB44.43: Empotrable de 10 celdas - LED - Warm white - Flood - DALI - Negro / Negro

**Código producto**

RB44.43: Empotrable de 10 celdas - LED - Warm white - Flood - DALI - Negro / Negro

Descripción

equipo miniaturizado empotrable rectangular con 10 elementos ópticos y fuentes LED - ópticas fijas - apertura flood. Cuerpo principal con superficie radiante de aluminio fundido a presión, versión con marco perimetral de tope. Ópticas de alta definición de termoplástico metalizado, integradas en posición retrasada en la pantalla antideslumbramiento negra; la composición de la estructura del sistema óptico evita el efecto puntiforme, permite obtener una distribución lumínica definida y circular y genera una emisión con destello controlado. Incluye grupo de alimentación electrónico dimerizable DALI conectado a la luminaria. LED blanco warm.

Instalación

empotrable con muelles de acero para falso techo de 1 a 25 mm - ranura de preparación 37 x 274

Colores

Negro/Negro (43)

Peso (Kg)

0.6

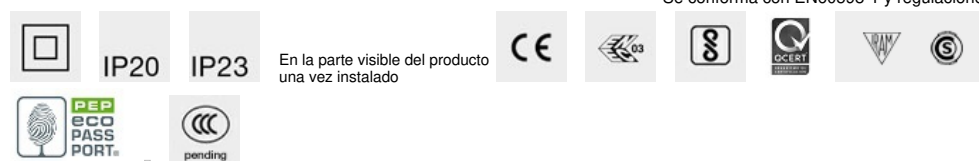
Montaje

empotrable en la pared|empotrable en el techo

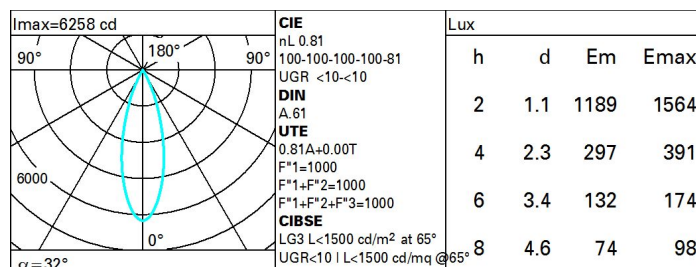
Equipo

en caja de alimentación con conexiones rápidas

Se conforma con EN60598-1 y regulaciones pertinentes

**Datos técnicos**

| | | | |
|---|------|--------------------------------------|---------------------------------|
| Im de sistema: | 1863 | CRI (típico): | 92 |
| W de sistema: | 23.4 | Temperatura de color [K]: | 3500 |
| Im de la fuente: | 2300 | MacAdam Step: | 3 |
| W de la fuente: | 20 | Life time (vida útil) LED 1: | > 50,000h - L90 - B10 (Ta 25°C) |
| Eficiencia luminosa (lm/W, valor del sistema): | 79.6 | Código de lámpara: | LED |
| Im en modo emergencia: | - | Número de lámparas por grupo óptico: | 1 |
| Flujo total de emisión en un ángulo de 90° o superior [Lm]: | 0 | Código ZVEI: | LED |
| Light Output Ratio (L.O.R.) [%]: | 81 | Número de grupos ópticos: | 1 |
| Ángulo de apertura del haz de luz [°]: | 32° | Control: | DALI-2 |
| CRI (mínimo): | 90 | | |

Polar

Coefficientes de uso

| R | 77 | 75 | 73 | 71 | 55 | 53 | 33 | 00 | DRR |
|------|----|----|----|----|----|----|----|----|-----|
| K0.8 | 73 | 70 | 67 | 65 | 69 | 66 | 66 | 64 | 78 |
| 1.0 | 76 | 73 | 71 | 69 | 72 | 70 | 70 | 67 | 83 |
| 1.5 | 80 | 78 | 76 | 74 | 77 | 75 | 74 | 72 | 89 |
| 2.0 | 83 | 81 | 79 | 78 | 80 | 78 | 78 | 75 | 93 |
| 2.5 | 84 | 83 | 82 | 81 | 82 | 81 | 80 | 78 | 96 |
| 3.0 | 85 | 84 | 83 | 83 | 83 | 82 | 81 | 79 | 98 |
| 4.0 | 86 | 85 | 85 | 84 | 84 | 84 | 82 | 81 | 99 |
| 5.0 | 87 | 86 | 86 | 86 | 85 | 84 | 83 | 81 | 100 |

Diagrama UGR

| Corrected UGR values (at 2300 lm bare lamp luminous flux) | | | | | | | | | | | |
|---|------|--------------|------|------|------|------|--------------|------|------|------|------|
| Reflect.: | | | | | | | | | | | |
| ceiling/cav | | 0.70 | 0.70 | 0.50 | 0.50 | 0.30 | 0.70 | 0.70 | 0.50 | 0.50 | 0.30 |
| walls | | 0.50 | 0.30 | 0.50 | 0.30 | 0.30 | 0.50 | 0.30 | 0.50 | 0.30 | 0.30 |
| work pl. | | 0.20 | 0.20 | 0.20 | 0.20 | 0.20 | 0.20 | 0.20 | 0.20 | 0.20 | 0.20 |
| Room dim | | viewed | | | | | viewed | | | | |
| x | y | crosswise | | | | | endwise | | | | |
| 2H | 2H | -7.7 | -7.2 | -7.4 | -6.9 | -6.7 | -7.7 | -7.2 | -7.4 | -6.9 | -6.7 |
| | 3H | -7.8 | -7.4 | -7.5 | -7.1 | -6.8 | -7.8 | -7.4 | -7.5 | -7.1 | -6.8 |
| | 4H | -7.9 | -7.5 | -7.6 | -7.2 | -6.9 | -7.9 | -7.5 | -7.6 | -7.2 | -6.9 |
| | 6H | -8.0 | -7.6 | -7.6 | -7.3 | -6.9 | -8.0 | -7.6 | -7.6 | -7.3 | -6.9 |
| | 8H | -8.0 | -7.6 | -7.6 | -7.3 | -6.9 | -8.0 | -7.6 | -7.7 | -7.3 | -7.0 |
| | 12H | -8.0 | -7.7 | -7.7 | -7.3 | -7.0 | -8.0 | -7.7 | -7.7 | -7.3 | -7.0 |
| 4H | 2H | -7.9 | -7.5 | -7.6 | -7.2 | -6.9 | -7.9 | -7.5 | -7.6 | -7.2 | -6.9 |
| | 3H | -8.0 | -7.7 | -7.7 | -7.3 | -7.0 | -8.0 | -7.7 | -7.7 | -7.3 | -7.0 |
| | 4H | -8.1 | -7.8 | -7.7 | -7.4 | -7.1 | -8.1 | -7.8 | -7.7 | -7.4 | -7.1 |
| | 6H | -8.2 | -7.9 | -7.8 | -7.5 | -7.1 | -8.2 | -7.9 | -7.8 | -7.5 | -7.1 |
| | 8H | -8.2 | -8.0 | -7.8 | -7.6 | -7.1 | -8.3 | -8.0 | -7.8 | -7.6 | -7.2 |
| | 12H | -8.3 | -8.0 | -7.8 | -7.6 | -7.2 | -8.3 | -8.1 | -7.9 | -7.6 | -7.2 |
| 8H | 4H | -8.3 | -8.0 | -7.8 | -7.6 | -7.2 | -8.2 | -8.0 | -7.8 | -7.6 | -7.1 |
| | 6H | -8.3 | -8.1 | -7.9 | -7.7 | -7.2 | -8.3 | -8.1 | -7.9 | -7.7 | -7.2 |
| | 8H | -8.4 | -8.2 | -7.9 | -7.7 | -7.2 | -8.4 | -8.2 | -7.9 | -7.7 | -7.2 |
| | 12H | -8.4 | -8.2 | -7.9 | -7.7 | -7.2 | -8.4 | -8.3 | -7.9 | -7.8 | -7.3 |
| 12H | 4H | -8.3 | -8.1 | -7.9 | -7.6 | -7.2 | -8.3 | -8.0 | -7.8 | -7.6 | -7.2 |
| | 6H | -8.4 | -8.2 | -7.9 | -7.7 | -7.2 | -8.4 | -8.2 | -7.9 | -7.7 | -7.2 |
| | 8H | -8.4 | -8.3 | -7.9 | -7.8 | -7.3 | -8.4 | -8.2 | -7.9 | -7.7 | -7.2 |
| Variations with the observer position at spacing: | | | | | | | | | | | |
| S = | 1.0H | 6.7 / -11.6 | | | | | 6.7 / -11.6 | | | | |
| | 1.5H | 9.6 / -12.2 | | | | | 9.6 / -12.2 | | | | |
| | 2.0H | 11.5 / -12.6 | | | | | 11.5 / -12.6 | | | | |